



(12) 发明专利

(10) 授权公告号 CN 101867313 B

(45) 授权公告日 2012.07.25

(21) 申请号 201010211725.7

(22) 申请日 2010.06.21

(73) 专利权人 清华大学

地址 100084 北京市海淀区清华园一号清华
大学电机系西主楼2区110

(72) 发明人 张春朋

(74) 专利代理机构 北京纪凯知识产权代理有限
公司 11245

代理人 徐宁 关畅

(51) Int. Cl.

H02M 7/48 (2007.01)

(56) 对比文件

CN 101577428 A, 2009.11.11, 全文 .

US 2008/0175058 A1, 2008.07.24, 全文 .

CN 101378227 A, 2009.03.04, 全文 .

审查员 郭星

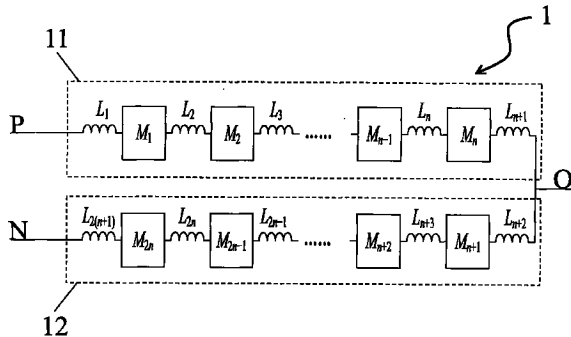
权利要求书 2 页 说明书 4 页 附图 7 页

(54) 发明名称

一种级联型换流器

(57) 摘要

本发明涉及一种级联型换流器，其特征在于：它包括至少两个换流器桥臂，每一所述换流器桥臂包括串接的第一桥臂单元和第二桥臂单元；所述每一换流器桥臂中的第一、二桥臂单元的串联接点处连接一交流出线，所述第一、二桥臂单元剩下的另外两端分别连接一直流母线的正极和负极；所述第一桥臂单元包括 n 个串接的 B 形桥 (M_{j1})，所述第二桥臂单元包括 n 个串接的 B 形桥 (M_{j2})， $j_1 = 1 \dots n$, $j_2 = n+1 \dots 2n$, n 为级联数， $n \geq 1$ 。本发明主要用于中高电压等级的电网和负荷。



1. 一种级联型换流器，其特征在于：它包括至少两个换流器桥臂，每一所述换流器桥臂包括串接的第一桥臂单元和第二桥臂单元；所述每一换流器桥臂中的第一、二桥臂单元的串联接点处连接一交流出线，所述第一、二桥臂单元剩下的另外两端分别连接一直流母线的正极和负极；所述第一桥臂单元包括 n 个串接的 B 形桥 M_{j_1} ，所述第二桥臂单元包括 n 个串接的 B 形桥 M_{j_2} ， $j_1 = 1 \dots n$, $j_2 = n+1 \dots 2n$, n 为级联数， $n \geq 1$ ；

每一所述换流器桥臂中的各所述 B 形桥 M_{j_1} 、 M_{j_2} 分别包括四电力电子器件 $S_1 \sim S_4$ 、两电容器 C_1 、 C_2 ，以及一 X 端和一 Y 端；所述电力电子器件 S_2 的发射极和集电极分别连接所述电力电子器件 S_3 的集电极和所述电力电子器件 S_1 的发射极，所述电力电子器件 S_3 的发射极连接所述电力电子器件 S_4 的集电极，所述电力电子器件 S_1 的集电极和所述电力电子器件 S_4 的发射极之间串接所述两电容器 C_1 、 C_2 ；所述两电容器 C_1 、 C_2 之间的一点通过一导线接在所述电力电子器件 S_2 的发射极与所述电力电子器件 S_3 的集电极之间；所述 X 端连接所述电力电子器件 S_1 的发射极和所述电力电子器件 S_2 的集电极的接点，所述 Y 端连接所述电力电子器件 S_3 的发射极和所述电力电子器件 S_4 的集电极的接点。

2. 如权利要求 1 所述的一种级联型换流器，其特征在于：所述 B 形桥 M_{j_1} 、 M_{j_2} 的 XY 端口输出 0、 U_C 、 $2U_C$ 三种有效电平之一。

3. 如权利要求 1 或 2 所述的一种级联型换流器，其特征在于：所述第一、二桥臂单元的两端、相邻两 B 形桥 M_{j_1} 的接点和相邻两 B 形桥 M_{j_2} 的接点中的一处连接一电抗器 L_i ， $j_1 = 1 \dots n$, $j_2 = n+1 \dots 2n$, $i = 1 \dots 2n+2$ 。

4. 如权利要求 1 或 2 所述的一种级联型换流器，其特征在于：所述第一、二桥臂单元的两端、相邻两 B 形桥 M_{j_1} 的接点和相邻两 B 形桥 M_{j_2} 的接点中的多处连接一电抗器 L_i ， $j_1 = 1 \dots n$, $j_2 = n+1 \dots 2n$, $i = 1 \dots 2n+2$ 。

5. 如权利要求 1 或 2 所述的一种级联型换流器，其特征在于：所述第一、二桥臂单元的两端、相邻两 B 形桥 M_{j_1} 的接点和相邻两 B 形桥 M_{j_2} 的接点中的每一处连接一电抗器 L_i ， $j_1 = 1 \dots n$, $j_2 = n+1 \dots 2n$, $i = 1 \dots 2n+2$ 。

6. 如权利要求 3 所述的一种级联型换流器，其特征在于：当所述第一桥臂单元中第 n 个 B 形桥 M_n 的 Y 端和所述第二桥臂单元中第 $n+1$ 个 B 形桥 M_{n+1} 的 X 端分别连接有电抗器 L_{n+1} 、 L_{n+2} 时，所述交流出线连接在所述电抗器 L_{n+1} 、 L_{n+2} 的接点处；当第一个 B 形桥 M_1 的 X 端连接电抗器 L_1 时，所述直流母线的正极直接连接电抗器 L_1 ；当第 $2n$ 个 B 形桥 M_{2n} 的 Y 端连接电抗器 $L_{2(n+1)}$ 时，所述直流母线的负极直接连接电抗器 $L_{2(n+1)}$ 。

7. 如权利要求 4 所述的一种级联型换流器，其特征在于：当所述第一桥臂单元中第 n 个 B 形桥 M_n 的 Y 端和所述第二桥臂单元中第 $n+1$ 个 B 形桥 M_{n+1} 的 X 端分别连接有电抗器 L_{n+1} 、 L_{n+2} 时，所述交流出线连接在所述电抗器 L_{n+1} 、 L_{n+2} 的接点处；当第一个 B 形桥 M_1 的 X 端连接电抗器 L_1 时，所述直流母线的正极直接连接电抗器 L_1 ；当第 $2n$ 个 B 形桥 M_{2n} 的 Y 端连接电抗器 $L_{2(n+1)}$ 时，所述直流母线的负极直接连接电抗器 $L_{2(n+1)}$ 。

8. 如权利要求 5 所述的一种级联型换流器，其特征在于：当所述第一桥臂单元中第 n 个 B 形桥 M_n 的 Y 端和所述第二桥臂单元中第 $n+1$ 个 B 形桥 M_{n+1} 的 X 端分别连接有电抗器 L_{n+1} 、 L_{n+2} 时，所述交流出线连接在所述电抗器 L_{n+1} 、 L_{n+2} 的接点处；当第一个 B 形桥 M_1 的 X 端连接电抗器 L_1 时，所述直流母线的正极直接连接电抗器 L_1 ；当第 $2n$ 个 B 形桥 M_{2n} 的 Y 端连接电抗器 $L_{2(n+1)}$ 时，所述直流母线的负极直接连接电抗器 $L_{2(n+1)}$ 。

9. 如权利要求 1 或 2 或 6 或 7 或 8 所述的一种级联型换流器, 其特征在于 : 所述换流器桥臂输出电压的电平数为 $2n+1$ 个 ; 所述级联数 $n = 2$ 时, 所述换流器桥臂输出的电压具有 5 个电平 ; 所述级联数 $n = 4$ 时, 所述换流器桥臂输出的电压具有 9 个电平。

10. 如权利要求 3 所述的一种级联型换流器, 其特征在于 : 所述换流器桥臂输出电压的电平数为 $2n+1$ 个 ; 所述级联数 $n = 2$ 时, 所述换流器桥臂输出的电压具有 5 个电平 ; 所述级联数 $n = 4$ 时, 所述换流器桥臂输出的电压具有 9 个电平。

11. 如权利要求 4 所述的一种级联型换流器, 其特征在于 : 所述换流器桥臂输出电压的电平数为 $2n+1$ 个 ; 所述级联数 $n = 2$ 时, 所述换流器桥臂输出的电压具有 5 个电平 ; 所述级联数 $n = 4$ 时, 所述换流器桥臂输出的电压具有 9 个电平。

12. 如权利要求 5 所述的一种级联型换流器, 其特征在于 : 所述换流器桥臂输出电压的电平数为 $2n+1$ 个 ; 所述级联数 $n = 2$ 时, 所述换流器桥臂输出的电压具有 5 个电平 ; 所述级联数 $n = 4$ 时, 所述换流器桥臂输出的电压具有 9 个电平。

一种级联型换流器

技术领域

[0001] 本发明涉及一种适用于中高电压等级的电网和负荷的换流器，特别是关于一种级联型换流器。

背景技术

[0002] 随着新能源发电、电气化铁路等中高压电网和负荷的发展，对轻型直流输电系统、背靠背型的补偿设备的需求大大增加。中高压换流器是这些补偿设备的关键部件，其拓扑主要包括：器件串联型（如图1所示）和H桥级联型（也称为链式）（如图2所示）。其中，器件串联型换流器易于控制，且多相桥臂可以共用直流侧电容器，便于实现直流输电和背靠背运行，但是器件串联时的动态均压不容易实现，且这种换流器的有效电平数少，输出波形畸变率高，运行效率略低。H桥级联型换流器基于简单单元的级联，有效电平数较多，输出波形畸变率较低，运行效率较高，但是它不允许许多相桥臂共用直流侧电容器，不适用于直流输电和背靠背运行。

发明内容

[0003] 为实现一种适用于直流输电和背靠背运行，且有效电平数多、输出波形畸变率低的级联型换流器。

[0004] 本发明采取以下技术方案：

[0005] 一种级联型换流器，其特征在于：它包括至少两个换流器桥臂，每一所述换流器桥臂包括串接的第一桥臂单元和第二桥臂单元；所述每一换流器桥臂中的第一、二桥臂单元的串联接点处连接一交流出线，所述第一、二桥臂单元剩下的另外两端分别连接一直流母线的正极和负极；所述第一桥臂单元包括n个串接的B形桥(M_{j_1})，所述第二桥臂单元包括n个串接的B形桥(M_{j_2})， $j_1 = 1 \dots n$, $j_2 = n+1 \dots 2n$, n为级联数， $n \geq 1$ 。

[0006] 每一所述换流器桥臂中的各所述B形桥(M_{j_1}, M_{j_2})分别包括四电力电子器件($S_1 \sim S_4$)、两电容器(C_1, C_2)，以及一所述X端和一所述Y端；所述电力电子器件(S_2)的发射极和集电极分别连接所述电力电子器件(S_3)的集电极和所述电力电子器件(S_1)的发射极，所述电力电子器件(S_3)的发射极连接所述电力电子器件(S_4)的集电极，所述电力电子器件(S_1)的集电极和所述电力电子器件(S_4)的发射极之间串接所述两电容器(C_1, C_2)；所述两电容器(C_1, C_2)之间的一点通过一导线接在所述电力电子器件(S_2)的发射极与所述电力电子器件(S_3)的集电极之间；所述X端连接所述电力电子器件(S_1)的发射极和所述电力电子器件(S_2)的集电极的接点，所述Y端连接所述电力电子器件(S_3)的发射极和所述电力电子器件(S_4)的集电极的接点。

[0007] 所述B形桥(M_{j_1}, M_{j_2})的XY端口输出0、 U_C 、 $2U_C$ 三种有效电平之一。

[0008] 所述第一、二桥臂单元的两端、相邻两B形桥(M_{j_1})的接点和相邻两B形桥(M_{j_2})的接点中的一处连接一电抗器 L_i ， $j_1 = 1 \dots n$, $j_2 = n+1 \dots 2n$, $i = 1 \dots 2n+2$ 。

[0009] 所述第一、二桥臂单元的两端、相邻两B形桥(M_{j_1})的接点和相邻两B形桥(M_{j_2})的

接点中的多处连接一电抗器 L_i , $j_1 = 1 \dots n$, $j_2 = n+1 \dots 2n$, $i = 1 \dots 2n+2$ 。

[0010] 所述第一、二桥臂单元的两端、相邻两B形桥 (M_{j_1}) 的接点和相邻两B形桥 (M_{j_2}) 的接点中的每一处连接一电抗器 L_i , $j_1 = 1 \dots n$, $j_2 = n+1 \dots 2n$, $i = 1 \dots 2n+2$ 。

[0011] 当所述第一桥臂单元中第 n 个B形桥 (M_n) 的Y端和所述第二桥臂单元中第 $n+1$ 个B形桥 (M_{n+1}) 的X端分别连接有所述电抗器 (L_{n+1} 、 L_{n+2}) 时,所述交流出线连接在所述电抗器 (L_{n+1} 、 L_{n+2}) 的接点处;当第一个B形桥 (M_1) 的X端连接电抗器 (L_1) 时,所述直流母线的正极直接连接电抗器 (L_1);当第 $2n$ 个B形桥 (M_{2n}) 的Y端连接电抗器 ($L_{2(n+1)}$) 时,所述直流母线的负极直接连接电抗器 ($L_{2(n+1)}$)。

[0012] 所述换流器桥臂输出电压的电平数为 $2n+1$ 个;所述级联数 $n = 2$ 时,所述换流器桥臂输出的电压具有 5 个电平;所述级联数 $n = 4$ 时,所述换流器桥臂输出的电压具有 9 个电平。

[0013] 本发明由于采取以上技术方案,其具有以下优点:1、由于本发明采用B形桥级联,多个桥臂共用直流侧电容器时不存在相间短路等问题,因此可以允许多个换流器共用直流侧电容器。2、由于本发明每一换流器桥臂包括 $2n+2$ 个电抗器和 $2n$ 个B形桥,电抗器值允许为零, $2n+2$ 个电抗器与 $2n$ 个B形桥依次交替级联,第 $n+1$ 个电抗器和第 $n+2$ 个电抗器的连接点接一交流出线,第一个电抗器的一端接直流母线的正极,另一端接第 1 个B桥的X端,第 $2n+2$ 个电抗器的一端接直流母线负极,另一端接第 $2n$ 个B桥的Y端,所述 n 为级联数, $n \geq 1$,因此便于实现冗余设计,可靠性高,实际应用时,便于模块化设计、制造和安装。3、由于本发明中的每一换流器桥臂中的各B形桥分别采用了四电力电子器件和两电容器,因此每一换流器桥臂结构简单,易于实现。4、由于本发明中的换流器为级联形式,因此每个B形桥的开关频率较低,而整个换流器的等效开关频率较高,故运行效率较高。5、由于本发明中的各B形桥的XY端口可以输出 0 、 U_c 、 $2U_c$ 三种有效电平,因此可以使换流器桥臂输出的有效电平数较多,交流输出波形畸变率低,输出电压的 dV/dt 小。本发明主要用于中高电压等级的电网和负荷。

附图说明

- [0014] 图 1 是器件串联型换流器的拓扑结构示意图
- [0015] 图 2 是 H 桥级联型换流器的拓扑结构示意图
- [0016] 图 3 是本发明的实施例一的结构示意图
- [0017] 图 4 是本发明的实施例二的结构示意图
- [0018] 图 5 是本发明的实施例三的结构示意图
- [0019] 图 6 是本发明中 B 形桥的原理图
- [0020] 图 7 是本发明中 B 形桥第一种工作状态的等效电路图
- [0021] 图 8 是本发明中 B 形桥第二种工作状态的等效电路图
- [0022] 图 9 是本发明中 B 形桥第三种工作状态的等效电路图
- [0023] 图 10 是本发明中 B 形桥第四种工作状态的等效电路图
- [0024] 图 11 是本发明中 B 形桥的一具体实施例的结构示意图
- [0025] 图 12 是本发明的级联数为 2 时,桥臂输出电压的波形图
- [0026] 图 13 是本发明的级联数为 4 时,桥臂输出电压的波形图

[0027] 图 14 是本发明的基于 B 形桥级联的三相桥输出的三相电压波形图

具体实施方式

[0028] 下面结合附图和实施例对本发明进行详细的描述。

[0029] 如图 3 ~ 5 所示,本发明包括至少两个换流器桥臂 1,其中,每一换流器桥臂 1 包括两桥臂单元 11、12,桥臂单元 11 包括 n 个串接的 B 形桥 M_{j1} ($j1 = 1 \dots n$),桥臂单元 12 包括 n 个串接的 B 形桥 M_{j2} ($j2 = n+1 \dots 2n$)。上述 n 为级联数, $n \geq 1$, 其根据具体情况进行选定。两个换流器桥臂 1 组成一个单相桥换流器 2,三个换流器桥臂 1 组成三相桥换流器 3。本发明的换流器拓扑主要用于研制中高电压等级的电压源型换流器,包括脉冲电源、变频器、静止无功发生器、有源电力滤波器、直流输电、统一潮流控制器等,但不限于上述换流器。

[0030] 如图 6 所示,本发明的桥臂单元 11、12 中的每一 B 形桥 $M_{j1}、M_{j2}$ 分别包括电力电子器件 $S_1 \sim S_4$ 、电容器 C_1 和 C_2 ,以及一 X 端和一 Y 端。电力电子器件 $S_1 \sim S_4$ 与电容器 C_1 和 C_2 构成一串连回路,其具体连接为:电力电子器件 S_2 的发射极和集电极分别连接电力电子器件 S_3 的集电极和电力电子器件 S_1 的发射极,电力电子器件 S_3 的发射极连接电力电子器件 S_4 的集电极,电力电子器件 S_1 的集电极和电力电子器件 S_4 的发射极之间串接电容器 C_1 和 C_2 。电容器 C_1 与 C_2 之间的一点通过一导线 4 连接在电力电子器件 S_2 的发射极与电力电子器件 S_3 的集电极之间。X 端连接在电力电子器件 S_1 的发射极与电力电子器件 S_2 的集电极的接点, Y 端连接在电力电子器件 S_3 的发射极与电力电子器件 S_4 的集电极的接点。X 端和 Y 端均是输出端,若记电容器 C_1 和 C_2 的电压均为 U_C ,则 B 形桥 $M_{j1}、M_{j2}$ 的 XY 端口可以输出 0、 U_C 、 $2U_C$ 三种有效电平,其工作原理如表 1 所示。

[0031] 表 1

[0032]

	第一种工作状态	第二种工作状态	第三种工作状态	第四种工作状态
电力 电 子 器 件 状 态	S_1 :截止 S_2 :导通 S_3 :导通 S_4 :截止	S_1 :导通 S_2 :截止 S_3 :导通 S_4 :截止	S_1 :截止 S_2 :导通 S_3 :截止 S_4 :导通	S_1 :导通 S_2 :截止 S_3 :截止 S_4 :导通
XY 端 口输 出电 压	0	U_C	U_C	$2U_C$

[0033] 如图 7 ~ 10 所示,通过合理控制电力电子器件 $S_1 \sim S_4$ 的开关规律,或者在电容器 C_1 和 C_2 两端并联均压电路,可以保持电容器 C_1 和 C_2 的电压均衡。

[0034] 如图 3 ~ 5 所示,桥臂单元 11 中二相邻的 B 形桥 M_{j1} 的 X、Y 端相连接,且第一个 B 形桥 M_1 的 X 端连接一直流母线的正极 P,第 n 个 B 形桥 M_n 的 Y 端连接一交流出线 0。桥臂单元 12 中二相邻的 B 形桥 M_{j2} 的 X、Y 端相连接,且第 n+1 个 B 形桥 M_{n+1} 的 X 端也连接交流

出线 0, 第 $2n$ 个 B 形桥 M_{2n} 的 Y 端连接直流母线的负极 N。

[0035] 上述实施例中, 第 1 个 B 形桥 M_1 的 X 端、第 $n+1$ 个 B 形桥 M_{n+1} 的 X 端、第 n 个 B 形桥 M_n 的 Y 端、第 $2n$ 个 B 形桥 M_{2n} 的 Y 端、二 B 形桥 M_{j1} 接点和二 B 形桥 M_{j2} 接点中的一处连接有 - 电抗器 L_i ($i = 1 \dots 2n+2$)。

[0036] 上述各实施例中, 第 1 个 B 形桥 M_1 的 X 端、第 $n+1$ 个 B 形桥 M_{n+1} 的 X 端、第 n 个 B 形桥 M_n 的 Y 端、第 $2n$ 个 B 形桥 M_{2n} 的 Y 端、二 B 形桥 M_{j1} 接点和二 B 形桥 M_{j2} 接点中的多处分别连接一电抗器 L_i 。

[0037] 上述各实施例中, 第一个 B 形桥 M_1 的 X 端、第 $n+1$ 个 B 形桥 M_{n+1} 的 X 端、第 n 个 B 形桥 M_n 的 Y 端、第 $2n$ 个 B 形桥 M_{2n} 的 Y 端、二 B 形桥 M_{j1} ($j1 = 1 \dots n$) 接点和二 B 形桥 M_{j2} 接点中的每一处分别连接一电抗器 L_j 。

[0038] 上述各实施例中, 当桥臂单元 11 中 M_n 的 Y 端和桥臂单元 12 中 M_{n+1} 的 X 端分别连接有电抗器 L_{n+1} 、 L_{n+2} 时, 交流出线 0 连接在二电抗器 L_{n+1} 、 L_{n+2} 的接点处。当 M_1 的 X 端连接电抗器 L_1 时, 直流母线的正极 P 直接连接电抗器 L_1 。当 M_{2n} 的 Y 端连接电抗器 $L_{2(n+1)}$ 时, 直流母线的负极 N 直接连接电抗器 $L_{2(n+1)}$ 。

[0039] 采用不同的电力电子器件时, B 形桥 M_{j1} 、 M_{j2} 的实际机械结构有所不同, 但均是器件级联的形式。以压装型电力电子器件为例, B 形桥 M_{j1} 、 M_{j2} 的实际结构如图 11 所示, 图 11 中的 D 是冷却基板。

[0040] 本发明的换流器桥臂输出电压的电平数为 $2n+1$ 个, 例如: 当级联数 $n = 2$ 时, 换流器桥臂 1 输出的电压具有 5 个电平 (如图 12 所示); 当级联数 $n = 4$ 时, 换流器桥臂 1 输出的电压具有 9 个电平 (如图 13 所示); 当级联数继续增加时, 电平数也随之增加, 换流器桥臂 1 输出电压的波形就更加逼近正弦。级联数 $n = 4$ 时, 三相桥换流器 3 输出的电压波形 (如图 14 所示)。随着级联数的增加, 三相桥换流器 3 输出电压增大, 可以用于中高压的场合。

[0041] 上述各实施例中, 各部件的结构、设置位置、及其连接都是可以有所变化的, 在本发明技术方案的基础上, 对个别部件进行的改进和等同变换, 不应排除在本发明的保护范围之外。

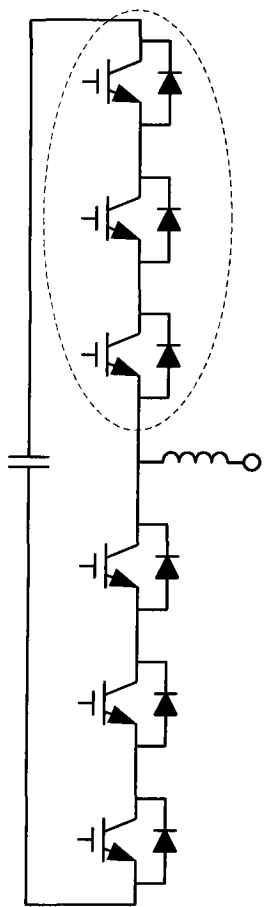


图 1

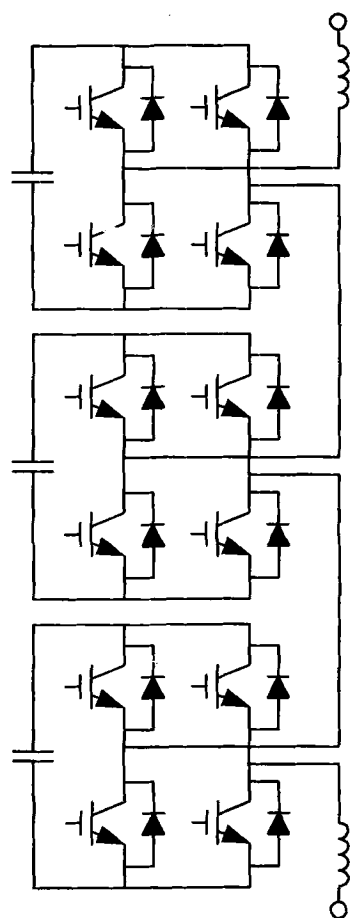


图 2

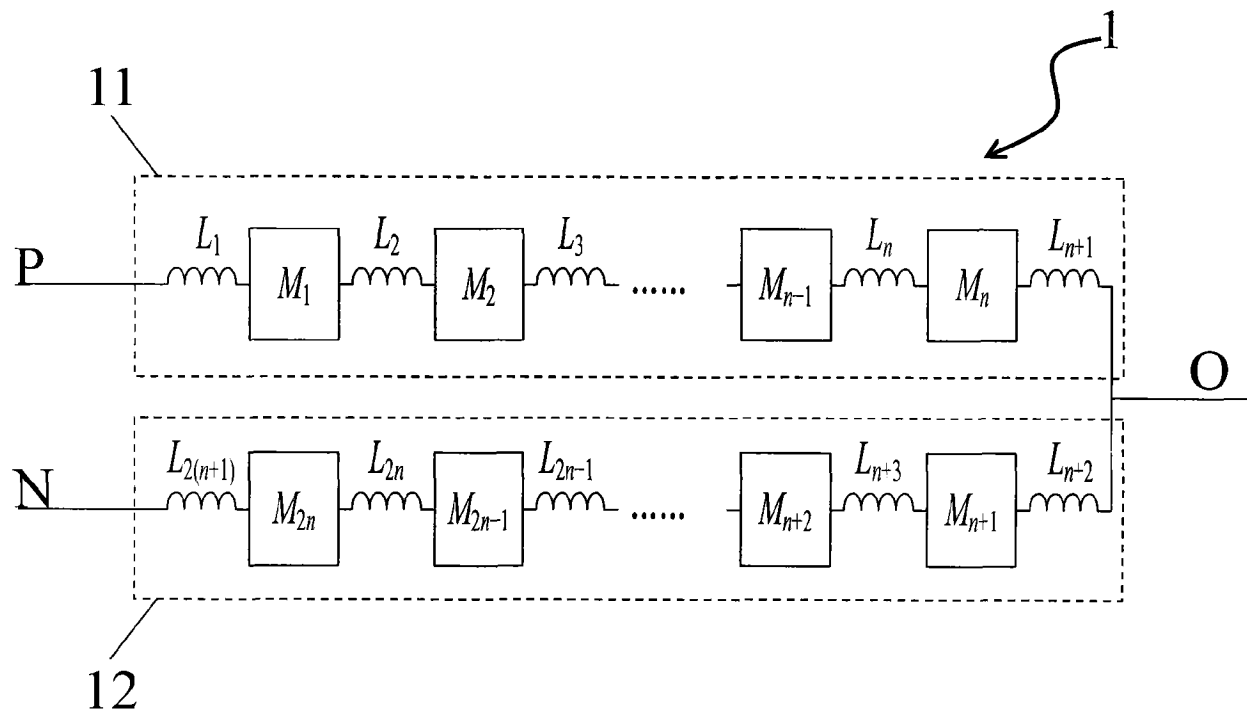


图 3

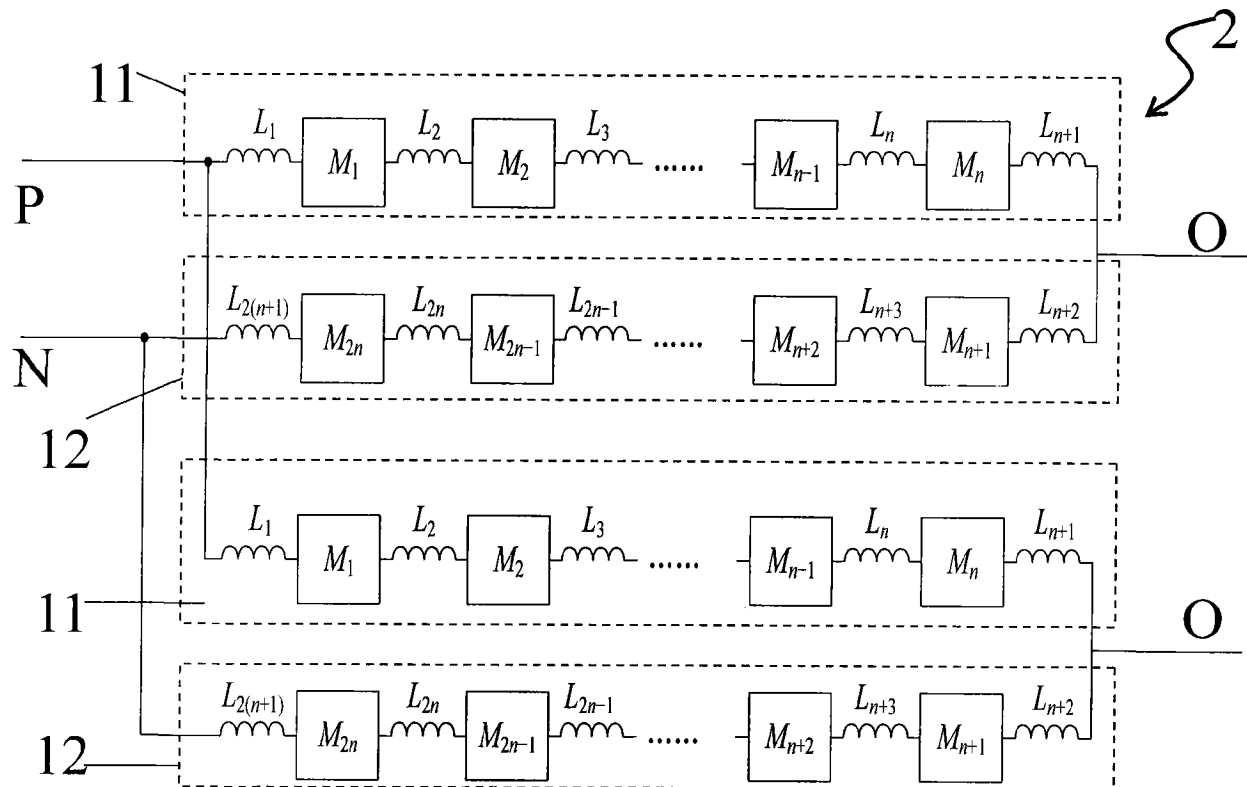


图 4

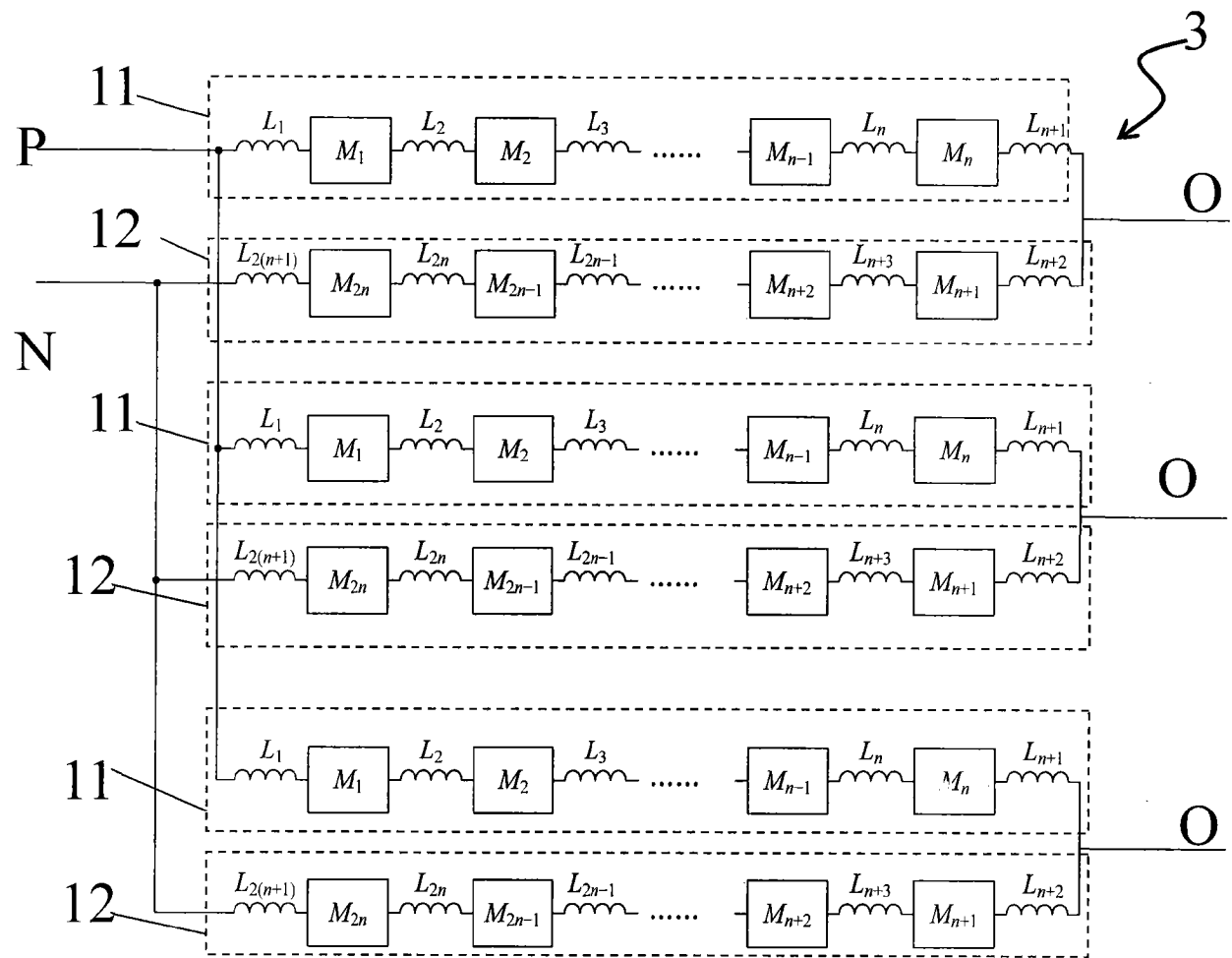


图 5

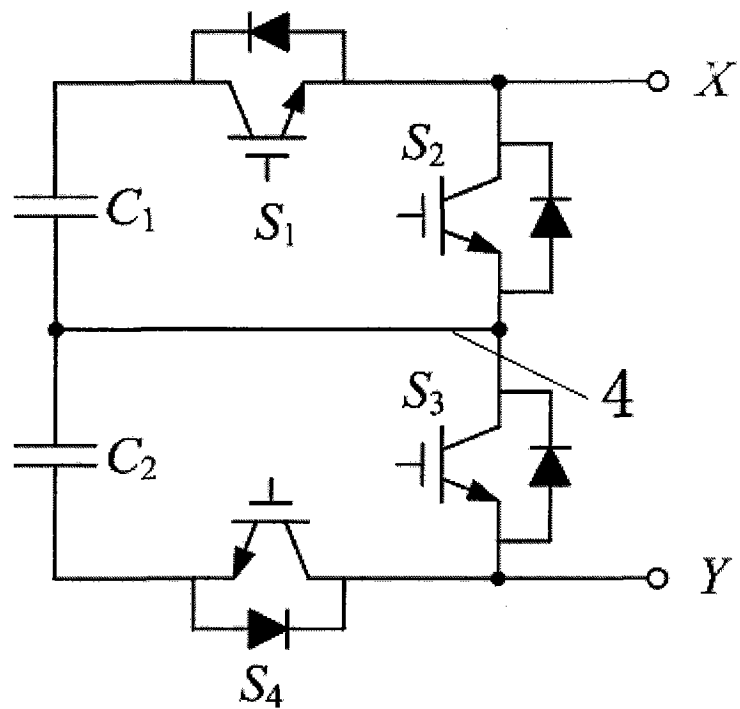


图 6

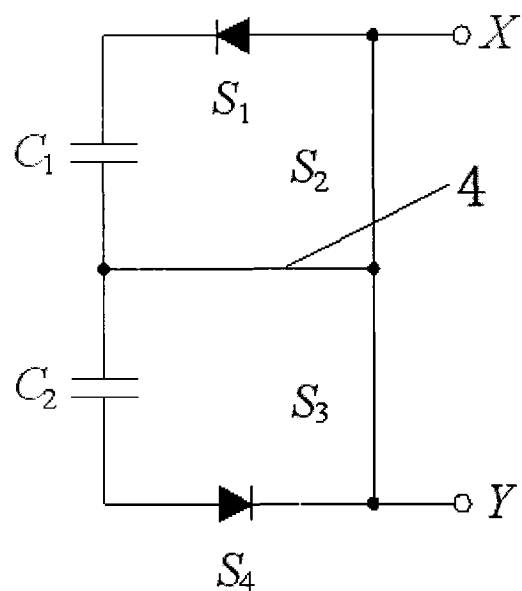


图 7

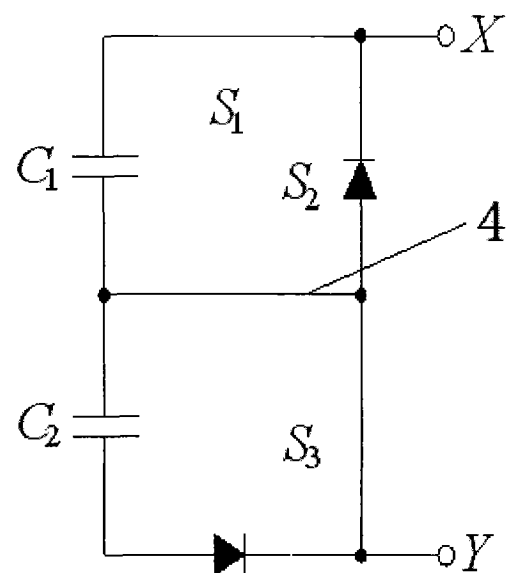


图 8

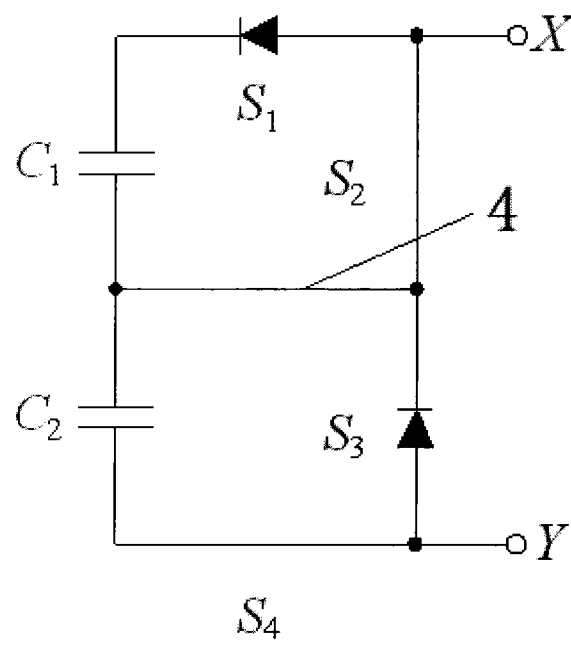


图 9

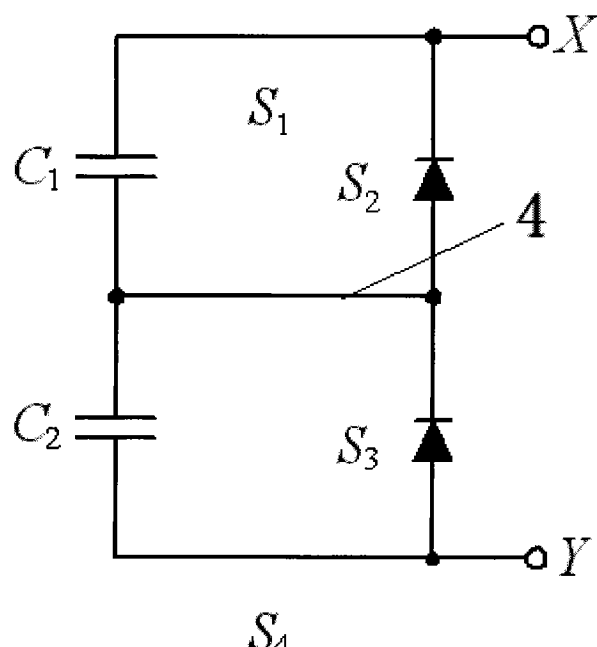


图 10

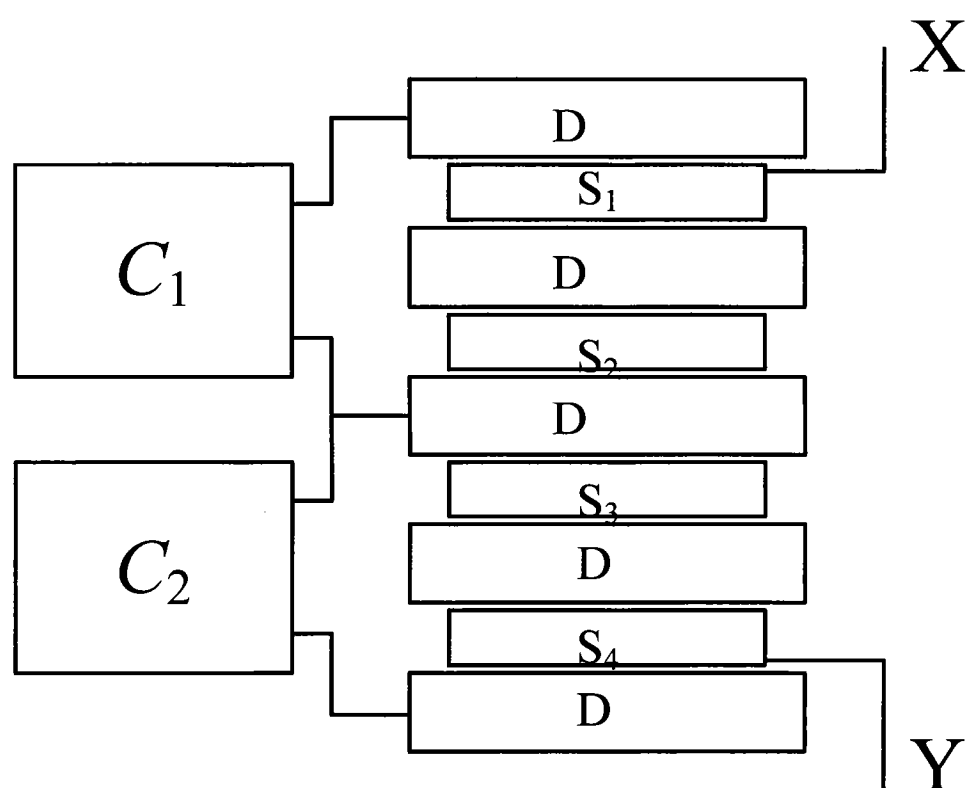


图 11

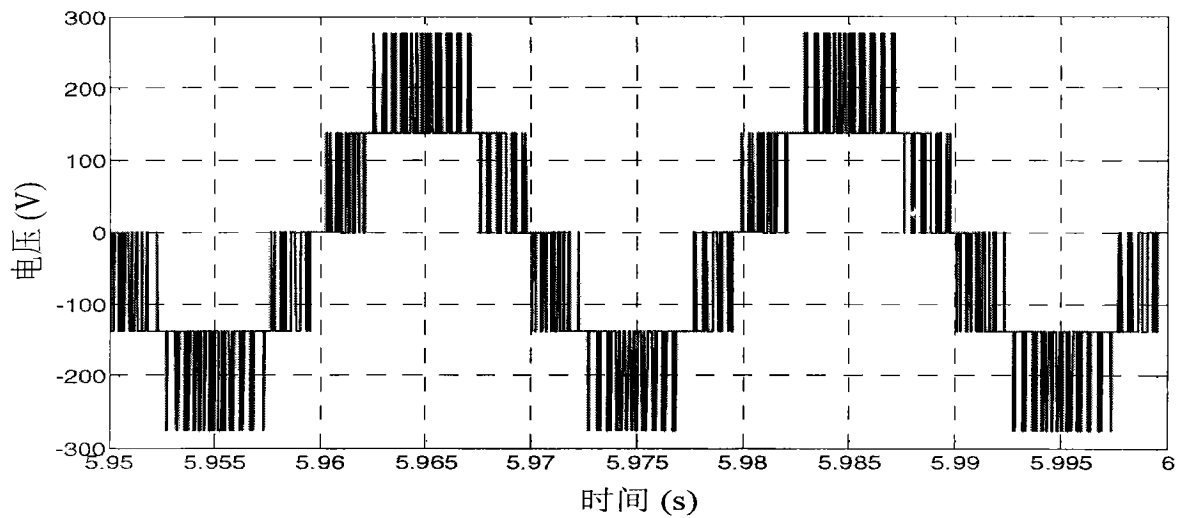


图 12

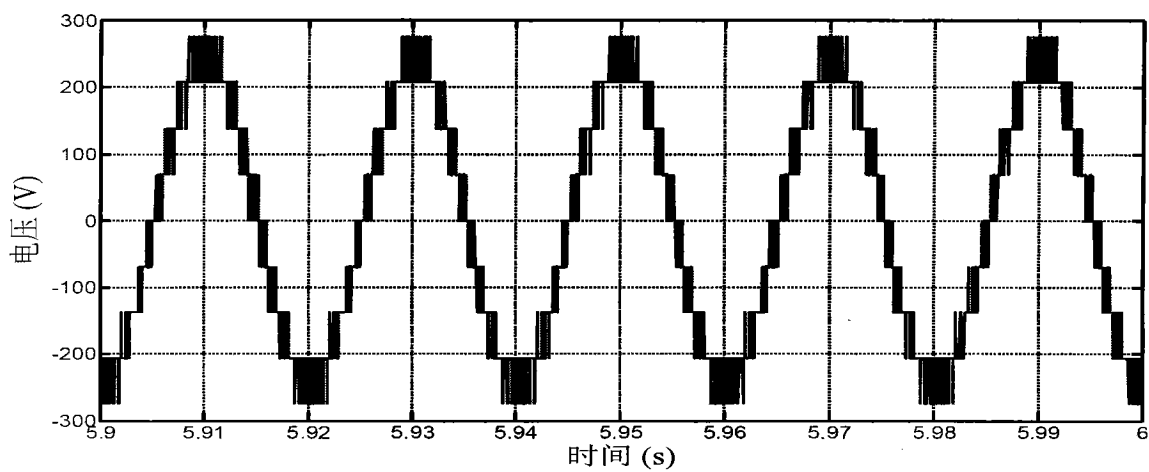


图 13

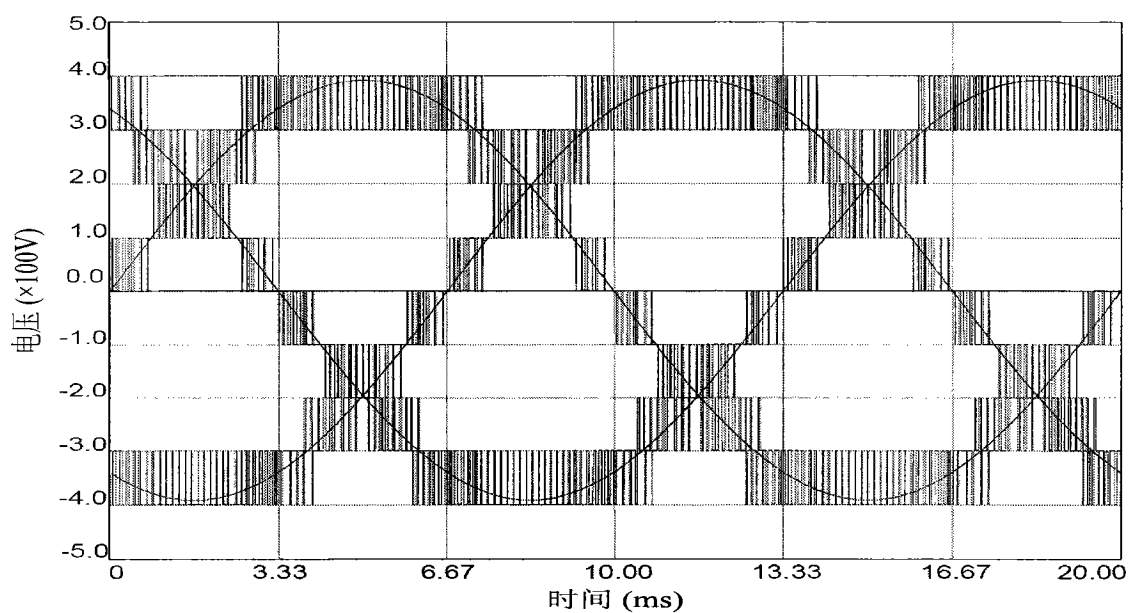


图 14